

To άτομο του Υδροχόνου

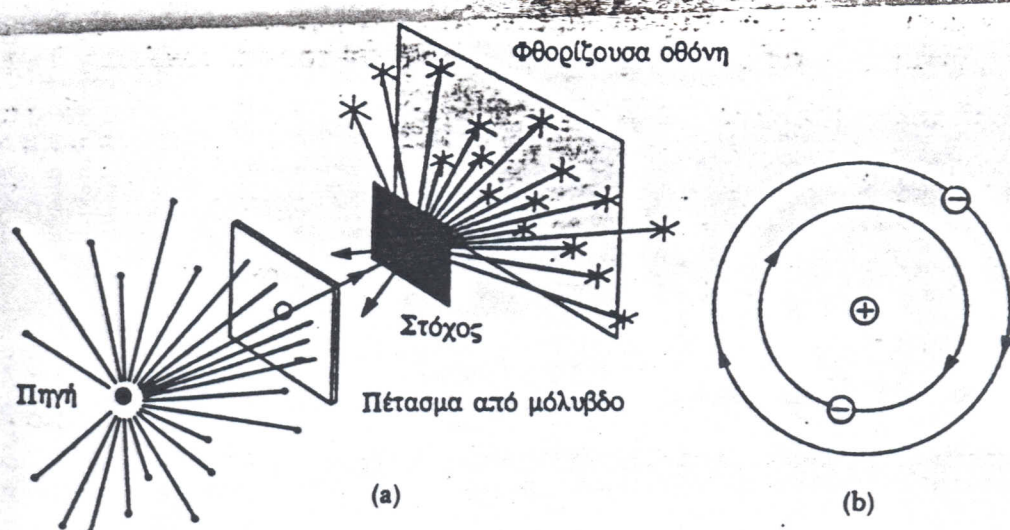
Το χαρακτηριστικό του ατόμου του Υδροχόνου

Ιστορικά Στοιχεία

Neutras "άτομα": μικρές σκληρές αύδρους στεγαίρες

J.J. Thomson "μονσέλο του θείου φορτισμένος όπως με σταφιδόφωρους" διάσπαρτα αρνητικά φορτία

1911 Rutherford "πλανητικά σύστημα"



Σχήμα 42.2 (a) Το πείραμα του Rutherford με το οποίο μετρήθηκε η γωνιακή κατανομή τής σκέψης σωματίων άλφα από λεπτά φύλλα μεταλλικών στόχων. Η πηγή τών σωματίων άλφα είναι ένας φυσικά φαδιενεργός πυρήνας, όπως είναι λ.χ. το ράδιο. (b) Το μοντέλο ατόμου του Rutherford αποκαλείται και πλανητικό μοντέλο του ατόμου.

"Ήταν το πιο απίστευτο πράγμα που εννέβη λοις σε γνώ μου. Ήταν όσον
να έλεγε στη βομβαρδίσεις ένα λεπτό φύλλο χαρτί με οβίδα 15 mm
και αυτή οχι μόνο ευτρέπεται από την πορεία της αλλά το χαρτί¹
την επιστρέφει κατά 180° και η οβίδα επιστρέφει πίσω και σε χτυπάει,,

1913 Bohr
Αγιωρίασα ή
ευθύνες του
Bohr

- Το ε περιφέρεται υπό την επίδραση του νόμου Coulomb
- Μόνο μερικές τροχιές επιτρέπονται και σε αυτές το ε δεν ακτινοβολεί
- Το ε ακτινοβολεί μόνο σαν μεταβαίνει από μια επιτρεπτή τροχιά σε μια άλλη

$$\Delta E = h\nu$$

- Οι επιτρεπτές τροχιές είναι αυτές όπου $\ell = n\hbar$: $n=1,2,3,\dots$

$$(L = pr = mv r = nh)$$

Άσκηση Ποιές είναι οι επιτρεπόμενες ενέργειακές στάθμες καθώς και το μηνός κύματα στην ακτινοβολία;

$$U = k \frac{q_1 q_2}{r} = -k \frac{e^2}{r} \quad (1)$$

$k = \frac{1}{4\pi\epsilon_0}$, ^{διαλεκτρική}
^{εσο: σταθερά}
^{του κενού}

$$F = -\frac{dU}{dr} = k \frac{e^2}{r^2} = m \frac{U^2}{r} \quad (2)$$

$$T = \frac{1}{2} mu^2 \stackrel{(2)}{\Rightarrow} T = \frac{ke^2}{2r} \quad \left. \begin{array}{l} \\ \\ E = T + U \end{array} \right\} \quad E = \frac{ke^2}{2r} - \frac{ke^2}{r} \Rightarrow E = -k \frac{e^2}{2r} \quad (3)$$

$$T = \frac{ke^2}{2r} = \frac{mu^2}{2} \Rightarrow u^2 = \frac{ke^2}{mr}$$

$$L = mvr = nh \Rightarrow v^2 = \frac{n^2 h^2}{m^2 r^2}$$

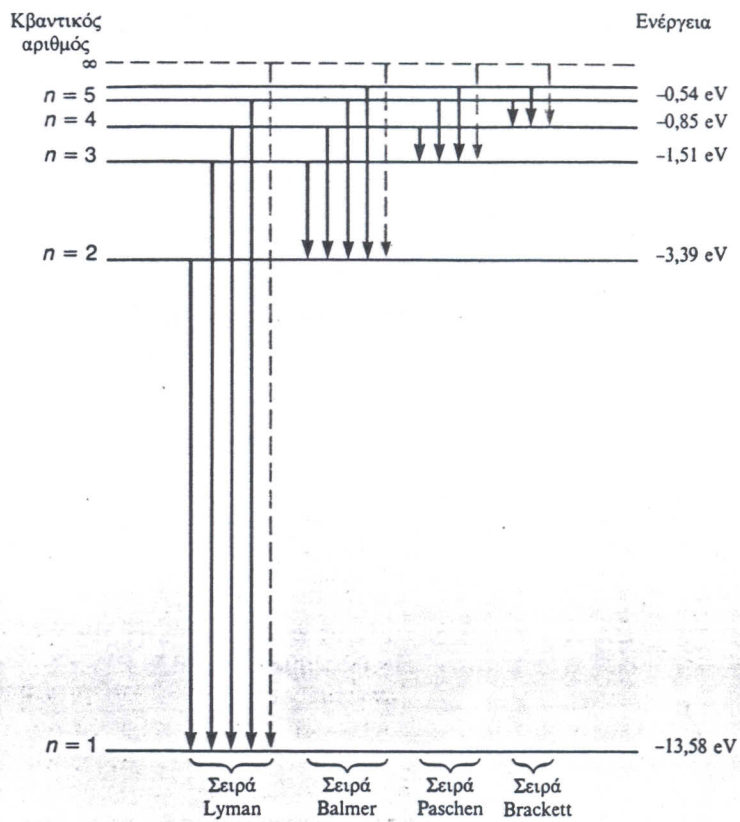
$$\left. \begin{array}{l} \\ \\ \end{array} \right\} \Rightarrow r = \frac{nh^2}{mk e^2} n^2 \quad (4)$$

$$(5) \Rightarrow E = -\frac{me^4 K^2}{2h^2} \left(\frac{1}{n^2} \right)$$

$$\text{ακτίνα Bohr} = a_0 = \frac{nh^2}{mk e^2} = 0.529 \text{ Å} \\ = 0.0529 \text{ nm} = 1 \text{ a.u.}$$

$$E = -13.6 \text{ eV}$$

Σχ. 4.13 Διάγραμμα ενέργειακών επιπέδων για το άτομο του υδρογόνου που δείχνει πώς εμφανίζονται οι διάφορες «σειρές» φασματικών γραμμών. Μόνο η σειρά Balmer βρίσκεται στην περιοχή μηκών κύματος που είναι ορατή.



$$\Delta E = h\nu \Rightarrow \nu = \frac{E_i - E_f}{h} = \frac{\kappa e^2}{2a_0 h} \left(\frac{1}{n_f^2} - \frac{1}{n_i^2} \right) \Rightarrow$$

$$\bar{\nu} = \frac{\nu}{c} = \frac{\kappa e^2}{2a_0 hc} \left(\frac{1}{n_f^2} - \frac{1}{n_i^2} \right) \Rightarrow$$

$$\bar{\nu} = R_H \left(\frac{1}{n_f^2} - \frac{1}{n_i^2} \right)$$

: $R_H = 1.0973732 \times 10^7 \text{ m}^{-1}$

σταθερά Rydberg

Eigewon Schrödinger

$$H\psi = E\psi$$

$$\left. \begin{array}{l} H = -\frac{\hbar^2}{2\mu} \nabla^2 + U(r) \\ U(r) = \frac{-e^2}{4\pi\epsilon_0 r} \end{array} \right\} H = -\frac{\hbar^2}{2\mu} \nabla^2 - \frac{e^2}{4\pi\epsilon_0 r} \quad (1)$$

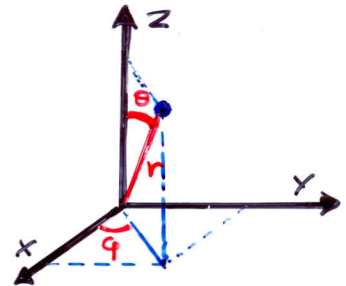
$$\mu = \frac{m_e m_p}{m_e + m_p} : \text{ανωγείν μάσα}$$

Αριθμητική συμμετρία του προβλήματος
χρησιμοποιούμε σφαιρικές συνταγμένες

$$x = r \sin\theta \cos\varphi$$

$$y = r \sin\theta \sin\varphi$$

$$z = r \cos\theta$$



$$\nabla^2 = \frac{1}{r^2} \frac{\partial}{\partial r} \left(r^2 \frac{\partial}{\partial r} \right) + \frac{1}{r^2 \sin\theta} \frac{\partial}{\partial \theta} \left(\sin\theta \frac{\partial}{\partial \theta} \right) + \frac{1}{r^2 \sin^2\theta} \frac{\partial^2}{\partial \varphi^2} \quad (2)$$

$$(1) \frac{\hbar^2}{2\mu} \left[\frac{1}{r^2} \frac{\partial}{\partial r} \left(r^2 \frac{\partial R}{\partial r} \right) + \frac{1}{r^2 \sin\theta} \frac{\partial}{\partial \theta} \left(\sin\theta \frac{\partial Y}{\partial \theta} \right) + \frac{1}{r^2 \sin^2\theta} \frac{\partial^2 Y}{\partial \varphi^2} \right] - \frac{e^2 \psi}{4\pi\epsilon_0 r} = E\psi$$

$$\psi(r, \theta, \varphi) = R(r) \cdot Y(\theta, \varphi)$$

$$\frac{\hbar^2}{2\mu} \left[\underbrace{\frac{1}{R} \frac{\partial}{\partial r} \left(r^2 \frac{\partial R}{\partial r} \right)}_{f(r)} + \underbrace{\frac{1}{Y \sin\theta} \frac{\partial}{\partial \theta} \left(\sin\theta \frac{\partial Y}{\partial \theta} \right)}_{g(\theta, \varphi)} + \underbrace{\frac{1}{Y \sin^2\theta} \frac{\partial^2 Y}{\partial \varphi^2}}_{g(\theta, \varphi)} \right] - \frac{e^2 r}{4\pi\epsilon_0} = \underbrace{E r^2}_{f(r)}$$



$$\frac{\hbar^2}{2\mu} \left(\frac{1}{R} \frac{\partial}{\partial r} \left(r^2 \frac{\partial R}{\partial r} \right) \right) - \frac{e^2 r}{4\pi\epsilon_0} - Er^2 = \text{const} \quad (3)$$

$$\frac{\hbar^2}{2\mu} \left(\frac{1}{Y \sin\theta} \frac{\partial}{\partial \theta} \left(\sin\theta \frac{\partial Y}{\partial \theta} \right) + \frac{1}{Y \sin^2\theta} \frac{\partial^2 Y}{\partial \varphi^2} \right) = -\text{const} \quad (4)$$

$$\hat{L}^2 = -\hbar^2 \left[\frac{1}{\sin\theta} \frac{\partial}{\partial\theta} (\sin\theta \frac{\partial}{\partial\theta}) + \frac{1}{\sin^2\theta} \frac{\partial^2}{\partial\varphi^2} \right] : \text{Λεγαντριανή}$$

(4) $\hat{L}^2 Y_L^m(\theta, \varphi) = \hbar^2 l(l+1) Y_L^m(\theta, \varphi)$, $L^2 = \hbar^2 l(l+1)$, $l=0, 1, 2, \dots$

\hookrightarrow σφαιρικές αρμονικές

$$Y(\theta, \varphi) = \Theta(\theta) \cdot \Phi(\varphi) \Rightarrow \dots \Rightarrow$$

$$Y_l^m(\theta, \varphi) = \sqrt{\frac{(2l+1)}{4\pi} \frac{(l-|m|)!}{(l+|m|)!}} P_l^{|m|}(\cos\theta) \cdot e^{im\varphi} \quad \begin{cases} l=0, 1, 2, \dots \\ m=0, \pm 1, \dots, \pm l \end{cases}$$

| $m=-l$ | $m=0$ | $m=l$ |
|---|--|---|
| $l=0$ | $Y_0^0 = \frac{1}{\sqrt{4\pi}}$ | |
| $l=1$ $Y_1^{-1} = \sqrt{\frac{3}{8\pi}} \sin\theta e^{-i\varphi}$ | $Y_1^0 = \sqrt{\frac{3}{4\pi}} \cos\theta$ | $Y_1^1 = \sqrt{\frac{3}{8\pi}} \sin\theta e^{i\varphi}$ |

AKTIVΙΚΗ ΕΙΓΕΩΝ

(3) $-\frac{\hbar^2}{2\mu r^2} \frac{d}{dr} \left(r^2 \frac{dR}{dr} \right) + \left[\frac{\hbar^2 l(l+1)}{2\mu r^2} - \frac{e^2}{4\pi\epsilon_0 r} - E \right] R = 0 \quad (5)$

$\Downarrow \dots \quad V_{\text{eff}}$

(5) $E_n = -\frac{\mu e^4}{8\epsilon_0^2 h^2 n^2}, \quad n=1, 2, \dots$

aktiva Bohr $a_0 = \frac{\epsilon_0 h^2}{n\mu e^2}$

$\Rightarrow E_n = -\frac{e^2}{8\pi\epsilon_0 a_0} \frac{1}{n^2}, \quad n=1, 2, \dots$

περιορισμός αυτης (5) : $n \geq l+1 \Rightarrow 0 \leq l \leq n-1, \quad n=1, 2, \dots$

(5) $R_{nl} = - \left[\frac{(n-l-1)!}{2n(n+l)!} \right]^{\frac{1}{2}} \left(\frac{2}{na_0} \right)^{l+\frac{3}{2}} n^l e^{-r/na_0} L_{n+l}^{2l+1} \left(\frac{2r}{na_0} \right)$

πολυωνύμα Laguerre.

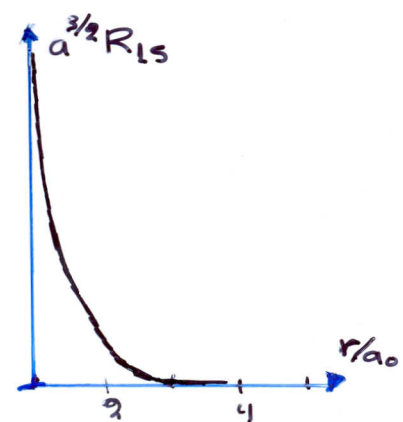
$$R_{1s}(r) = \frac{2}{a_0^{3/2}} e^{-r/a_0}$$

Kavoukonoinen : $\int_0^\infty r^2 R_{1s}^2(r) dr = 1$

? ποιά είναι η πιθανότητα ότι το ηλεκτρόνιο θα βρεθεί στο επαγγέλτη r και $r + dr$

\downarrow
 $\text{Prob} = r^2 R_{1s}^2(r) dr = \frac{4}{a_0^3} r^2 e^{-2r/a_0} dr$

Gyakorlathoz alkalmazott 1s →



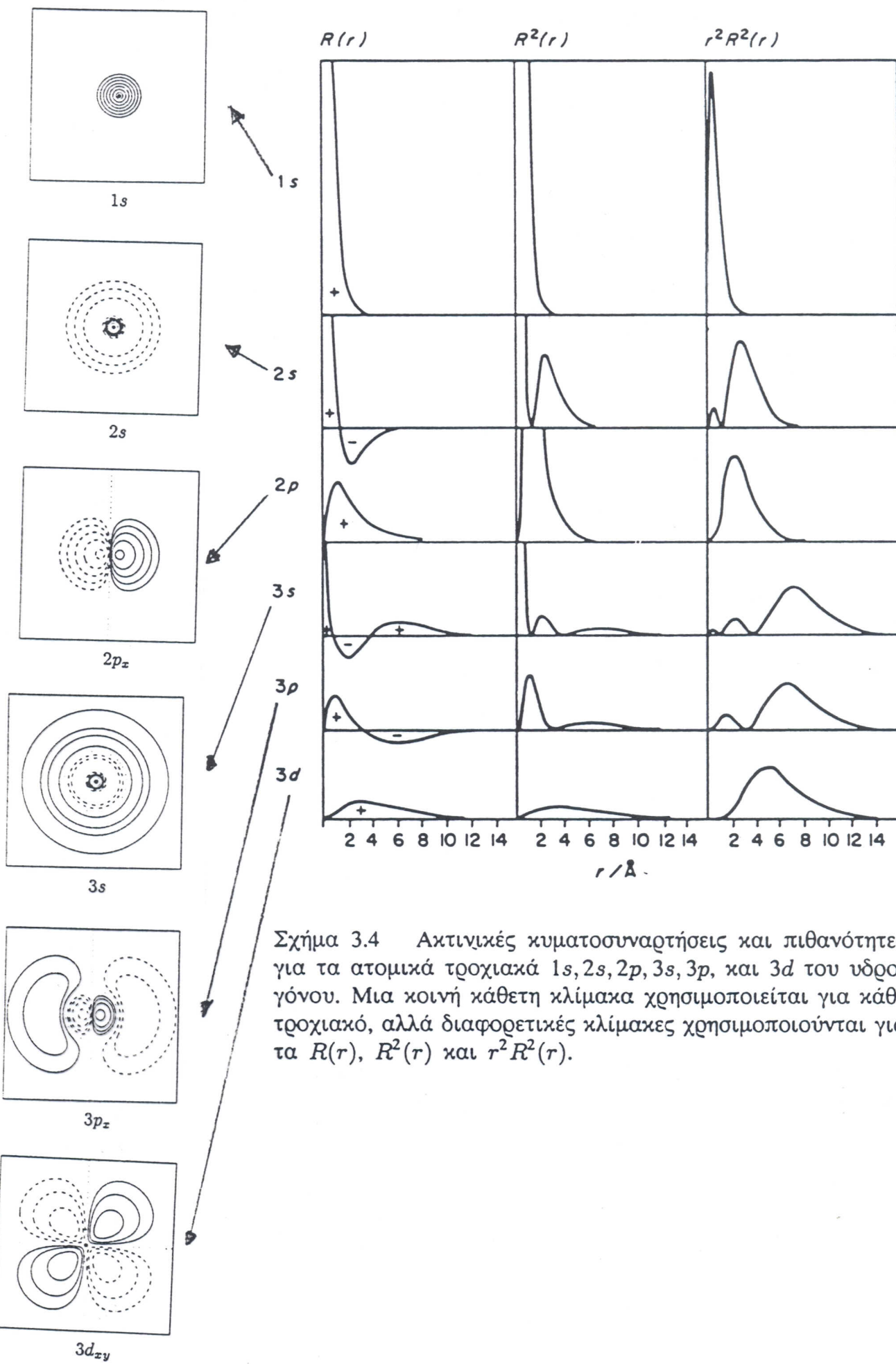
224

6 Three-Dimensional Systems

TABLE 6-5

The Complete Hydrogenlike Atomic Wave Functions for $n = 1, 2$, and 3 . The Quantity Z Is the Atomic Number of the Nucleus, and $\sigma = Zr/a_0$, Where a_0 Is the Bohr Radius.

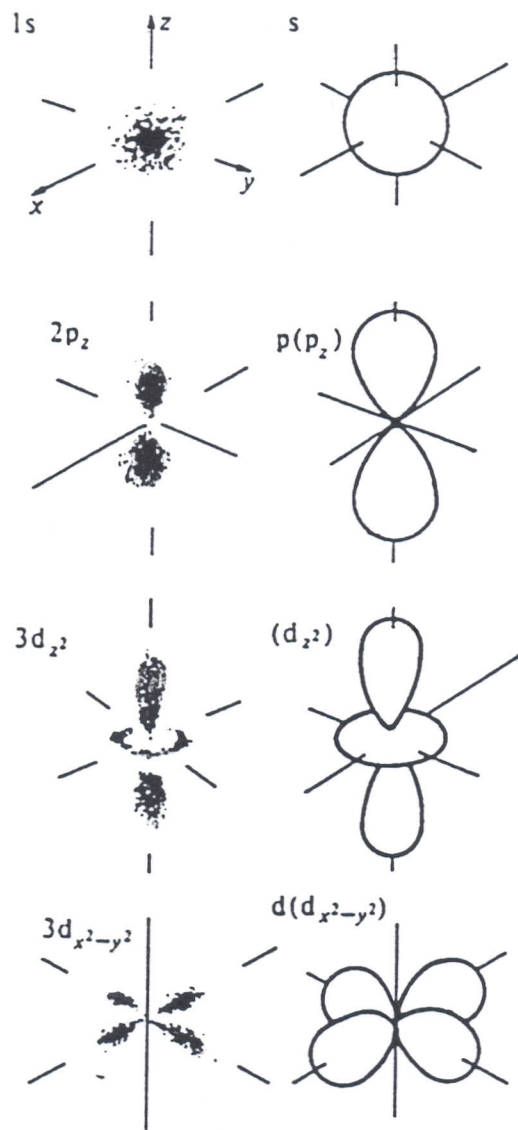
| | |
|-----------------------|--|
| $n = 1; l = 0, m = 0$ | $\psi_{100} = \frac{1}{\sqrt{\pi}} \left(\frac{Z}{a_0}\right)^{3/2} e^{-\sigma}$ |
| $n = 2; l = 0, m = 0$ | $\psi_{200} = \frac{1}{\sqrt{32\pi}} \left(\frac{Z}{a_0}\right)^{3/2} (2 - \sigma) e^{-\sigma/2}$ |
| $l = 1, m = 0$ | $\psi_{210} = \frac{1}{\sqrt{32\pi}} \left(\frac{Z}{a_0}\right)^{3/2} \sigma e^{-\sigma/2} \cos \theta$ |
| $l = 1, m = \pm 1$ | $\psi_{21\pm 1} = \frac{1}{\sqrt{64\pi}} \left(\frac{Z}{a_0}\right)^{3/2} \sigma e^{-\sigma/2} \sin \theta e^{\pm i\phi}$ |
| $n = 3; l = 0, m = 0$ | $\psi_{300} = \frac{1}{81\sqrt{3\pi}} \left(\frac{Z}{a_0}\right)^{3/2} (27 - 18\sigma + 2\sigma^2) e^{-\sigma/3}$ |
| $l = 1, m = 0$ | $\psi_{310} = \frac{1}{81} \left(\frac{2}{\pi}\right)^{1/2} \left(\frac{Z}{a_0}\right)^{3/2} (6\sigma - \sigma^2) e^{-\sigma/3} \cos \theta$ |
| $l = 1, m = \pm 1$ | $\psi_{31\pm 1} = \frac{1}{81\sqrt{\pi}} \left(\frac{Z}{a_0}\right)^{3/2} (6\sigma - \sigma^2) e^{-\sigma/3} \sin \theta e^{\pm i\phi}$ |
| $l = 2, m = 0$ | $\psi_{320} = \frac{1}{81\sqrt{6\pi}} \left(\frac{Z}{a_0}\right)^{3/2} \sigma^2 e^{-\sigma/3} (3 \cos^2 \theta - 1)$ |
| $l = 2, m = \pm 1$ | $\psi_{32\pm 1} = \frac{1}{81\sqrt{\pi}} \left(\frac{Z}{a_0}\right)^{3/2} \sigma^2 e^{-\sigma/3} \sin \theta \cos \theta e^{\pm i\phi}$ |
| $l = 2, m = \pm 2$ | $\psi_{32\pm 2} = \frac{1}{162\sqrt{\pi}} \left(\frac{Z}{a_0}\right)^{3/2} \sigma^2 e^{-\sigma/3} \sin^2 \theta e^{\pm 2i\phi}$ |



Σχήμα 3.4 Ακτινικές κυματοσυναρτήσεις και πιθανότητες για τα ατομικά τροχιακά $1s, 2s, 2p, 3s, 3p$, και $3d$ του υδρογόνου. Μια κοινή κάθετη κλίμακα χρησιμοποιείται για κάθε τροχιακό, αλλά διαφορετικές κλίμακες χρησιμοποιούνται για τα $R(r)$, $R^2(r)$ και $r^2R^2(r)$.

·Ηλεκτρονιακές
πυκνότητες

·Οριακές
έπιφάνειες



Σχ. 4.18. (Άριστερά) · Απεικόνισις τῆς ήλεκτρονιακής πυκνότητος τῶν τροχιακῶν.

Σχ. 4.19. (Δεξιά) · Οριακές έπιφανειες, οι οποίες άντιστοιχούν στίς κατανομές του Σχ. 4.18.

6-11 The Energy Levels of a Hydrogen Atom

237

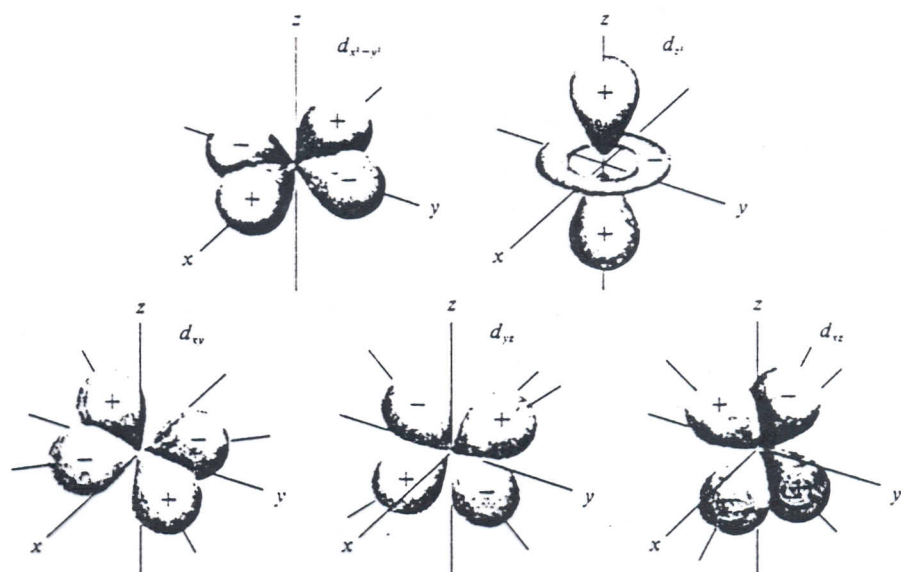


Figure 6-15. Three-dimensional polar plots of the angular part of the real representation of the hydrogen atomic wave functions for $l = 2$. Such plots show the directional character of these orbitals but are not good representations of the shape of these orbitals because the radial functions are not included.

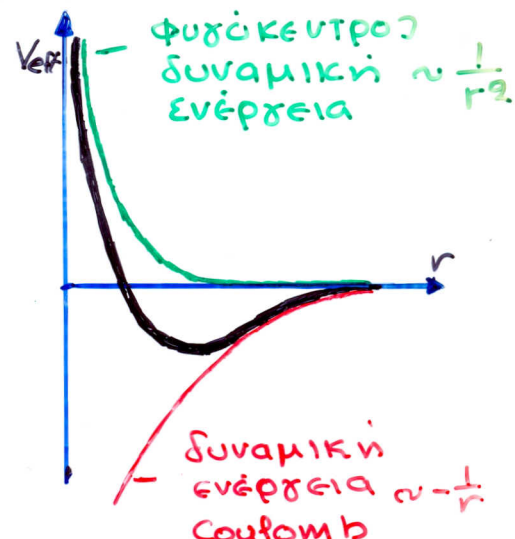
$$V_{\text{eff}} = -\frac{e^2}{4\pi\epsilon_0} \frac{1}{r} + \frac{\hbar^2 l(l+1)}{2\mu} \frac{1}{r^2}$$

για μικρά r $\frac{1}{r} < \frac{1}{r^2}$ $V_{\text{eff}} \rightarrow \frac{1}{r^2}$

για μεσαία r $\frac{1}{r} > \frac{1}{r^2}$ $V_{\text{eff}} \rightarrow \frac{1}{r}$

για $l=0 \Rightarrow V_{\text{eff}} \sim \frac{1}{r} \Rightarrow \exists P(r=0)$

για $l \neq 0$ $\stackrel{\text{μικρά } r}{\Rightarrow} V_{\text{eff}} \sim \frac{1}{r^2} \Rightarrow \cancel{\exists P(r=0)} : \text{κόμβος}$



Μη Δεσμικές Καταστάσεις $E > 0$ $\stackrel{(5)}{\Rightarrow} R \sim e^{\pm i(2\mu E/\hbar^2)^{1/2} \cdot r}$
κινούμενα κύματα

Kavouikonois

1D : $\Psi(x) \sim \int_{-\infty}^{+\infty} |\Psi(x)|^2 dx = 1$

3D : $\Psi(x,y,z) \sim \int_{-\infty}^{+\infty} \int_{-\infty}^{+\infty} \int_{-\infty}^{+\infty} |\Psi(x,y,z)|^2 dx dy dz = 1$

καρπούρανες $dx \cdot dy \cdot dz = dV = r^2 \sin\theta dr d\theta d\phi$ σφαιρικές

$$\boxed{\int_{q=0}^{2\pi} \int_{\theta=0}^{\pi} \int_{r=0}^{\infty} \sin\theta \int r^2 |\Psi(r,\theta,q)|^2 dr \cdot d\theta \cdot dq = 1}$$

Ορθοχωνιότητα

$$\int_{q=0}^{2\pi} \int_{\theta=0}^{\pi} \int_{r=0}^{\infty} r^2 \Psi_{n'm'l}^*(r,\theta,q) \Psi_{n'm'l'}(r,\theta,\phi) = \delta_{nn'} \delta_{ll'} \delta_{mm'}$$

$$\langle \Psi_{n'm'l} | \Psi_{n'm'l'} \rangle = \delta_{nn'} \delta_{ll'} \delta_{mm'}$$

ορθοκανονικότητα

Παραδείγμα -1- Δείξτε ότι η Ψ_{210} είναι καυστικοπιόνιον καταστάσης

$$\text{αφθογώνιας στη } \Psi_{200} \quad \int_0^\infty r^n e^{-Br} dr = \frac{n!}{B^{n+1}}$$

$$\Psi_{210} = \frac{1}{\sqrt{32\pi}} \left(\frac{z}{a_0}\right)^{3/2} 6e^{-\frac{z}{2}} \cos\theta, \quad \Psi_{200} = \frac{1}{\sqrt{32\pi}} \left(\frac{z}{a_0}\right)^{3/2} (2-6) e^{-\frac{z}{2}}, \quad 6 = \frac{2z}{a_0}$$

$$\langle \Psi_{210} | \Psi_{210} \rangle = \int_0^{\infty} \int_0^{\pi} \sin\theta \int_0^{\infty} r^2 \left[\frac{1}{\sqrt{32\pi}} \left(\frac{z}{a_0}\right)^{3/2} \left(\frac{2r}{a_0}\right) e^{-\frac{2r}{2a_0}} \cos\theta \right]^2 dr d\theta dy$$

$$= \frac{1}{32\pi} \left(\frac{z}{a_0}\right)^5 \int_0^{\infty} dr \int_0^{\pi} \sin\theta \cos^2\theta d\theta \int_0^{\infty} r^4 e^{-2r/a_0} dr =$$

$$= \frac{1}{32\pi} \left(\frac{z}{a_0}\right)^5 (2\pi) \cdot \left(\frac{2}{3}\right) \cdot \left[\left(\frac{a_0}{z}\right)^5 \cdot 24\right] = 1$$

$$\langle \Psi_{210} | \Psi_{200} \rangle = \int_0^{\infty} dr \int_0^{\pi} \sin\theta d\theta \int_0^{\infty} r^2 dr \left[\frac{1}{\sqrt{32\pi}} \left(\frac{z}{a_0}\right)^{3/2} \left(\frac{2r}{a_0}\right) e^{-\frac{2r}{2a_0}} \cos\theta \right] \times \left[\frac{1}{\sqrt{32\pi}} \left(\frac{z}{a_0}\right)^{3/2} (2-\frac{2r}{a_0}) e^{-\frac{2r}{2a_0}} \right]$$

$$= \frac{1}{32\pi} \left(\frac{z}{a_0}\right)^4 \int_0^{\infty} dr \int_0^{\pi} \sin\theta \cos\theta d\theta \int_0^{\infty} r^3 (2-\frac{2r}{a_0}) e^{-\frac{2r}{a_0}} dr = 0$$

$$\int_0^{\pi} \sin\theta d(\sin\theta) = \frac{\sin^2\theta}{2} \Big|_0^{\pi} = 0 \quad \rightarrow$$

Παραδείγμα -2- Βρείτε την πιθανότητα του ls ε του γερμανού να βρεθεί σε ανοσταση $2a_0$ από την κυρινή.

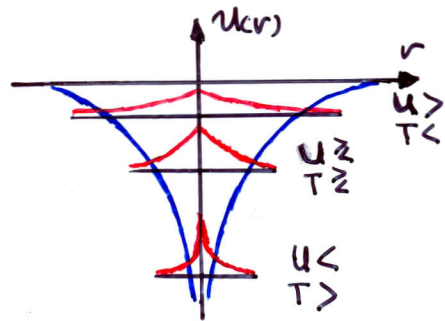
$$\Psi_{100} = \frac{1}{\sqrt{\pi}} \left[\frac{z}{a_0}\right]^{3/2} e^{-z} \quad \int x^n e^{ax} dx = \frac{x^{n+1} e^{ax}}{a} - \frac{n}{a} \int x^{n-1} e^{ax} dx$$

$$\Pi = \int_0^{\infty} dr \int_0^{\pi} \sin\theta d\theta \int_0^{2a_0} r^2 \left[\frac{1}{\sqrt{\pi}} \left(\frac{z}{a_0}\right)^{3/2} e^{-z} \right] dr =$$

$$= 2\pi \cdot 2 \cdot \frac{1}{\sqrt{\pi}} \left(\frac{z}{a_0}\right)^3 \int_0^{2a_0} r^2 e^{-\frac{4r}{a_0}} dr = \quad \begin{aligned} r &\rightarrow s, z=1 \\ ds &\rightarrow \frac{2}{a_0} dr = \frac{dr}{a_0} \end{aligned}$$

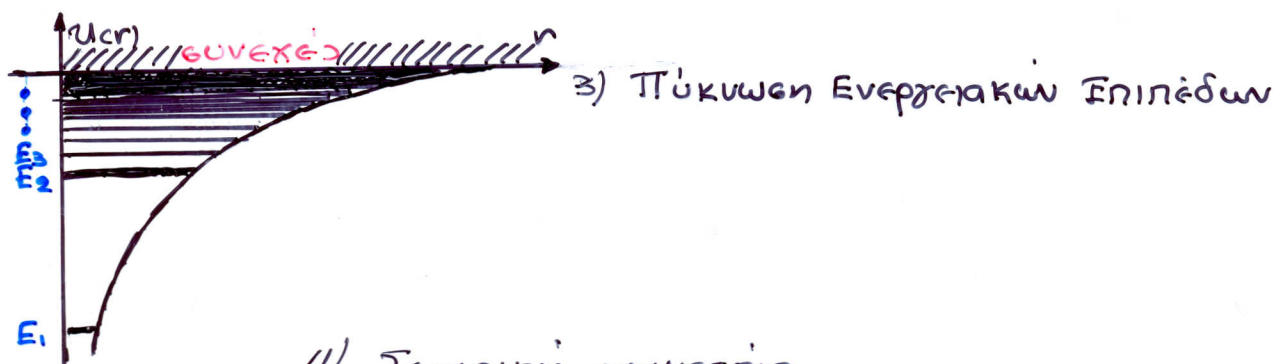
$$= 4 \int_0^2 s^2 e^{-4s} ds = 4 \left[\frac{1}{4} - \frac{13}{4} e^{-4} \right] = 1 - 13e^{-4} = 0.762$$

Φυσική Ανάλυση Αποτελεσμάτων



1) Τι δίκαιολος είναι την αυγητέυν σπάθερότητα των S -Τροχιακών;

$$2) E_1 = \frac{-me^4}{8\epsilon_0 h^2} \neq 0$$



4/ Σφαιρική συμετρία

Φυναρικό Σφαιρικό Συμμετρικό.

• $Y(l=0) = \text{const} \Rightarrow \Psi(l=0)$ σφαιρικά συμμετρικά S

$$Y(l=1) \leftarrow \begin{matrix} \sin\theta \cos\phi \\ \sin\theta \sin\phi \\ \cos\theta \end{matrix} \quad \begin{matrix} P_x \\ P_y \\ P_z \end{matrix} \quad \begin{matrix} x = r \sin\theta \cos\phi \\ y = r \sin\theta \sin\phi \\ z = r \cos\theta \end{matrix}$$

• Ποιά είναι τα κοριβικά σπίκεδα των P_x, P_y, P_z ;

• Υπάρχουν "προτιμηταίοι" άγονες στα ένα ελεύθερο άτομα;

$$\begin{aligned} \rightarrow P_x^2 + P_y^2 + P_z^2 &= \sin^2\theta \cos^2\phi + \sin^2\theta \sin^2\phi + \cos^2\theta = \\ &= \sin^2\theta (\cos^2\phi + \sin^2\phi) + \cos^2\theta = \\ &= \sin^2\theta + \cos^2\theta = 1 = \text{const} \\ \Psi(l=1) \text{ σφαιρικά συμ.} &\leftarrow Y(l=1) = \text{const.} \end{aligned}$$

✗ $Y(l=2) \rightarrow d_{z^2} \sim 3\cos^2\theta - 1$
 $dzx \sim \sin\theta \cos\theta \cos\phi$
 $dzy \sim \sin\theta \cos\theta \sin\phi$
 $dxy \sim \sin\theta \cos^2\phi$
 $dyz \sim \sin^2\theta \sin\phi$

Το μέγεθος των ατόμων και η πυκνότητα των ζιαν

5) Ακίνη Bohr - Αναγορευτική Αρχή του Pauli

$$a_0 \sim \frac{\hbar^2}{me^2}$$

$$\text{κλασικό όριο } \frac{\hbar \rightarrow 0}{m \rightarrow \infty} \Rightarrow a_0 \rightarrow 0$$

Το μέγεθος των αζομάνων

$$a \approx \frac{\hbar^2}{me^2 z} = \frac{a_0}{z}$$

κατά την αναγορευτική
αρχή του Pauli

$$\Rightarrow a(H) \approx \frac{a(H)}{100} \Rightarrow V(H) \approx \frac{V(H)}{1.000.000}$$

\Rightarrow πυκνότητα ζιαν : $gr/cm^3 - \text{fm}/cm^3$???

\Rightarrow Πώς γίνεται ο κόσμος αν ...

$$\hbar = 10^{-27} \text{ erg sec} \Rightarrow \hbar' = 10^{-26} \text{ erg sec} \quad (\hbar' = 10 \hbar)$$

$$a'_0 \sim \frac{\hbar'}{me^2} = 100 \frac{\hbar^2}{me^2} = 100 a_0 \Rightarrow V'(H) = 1.000.000 V(H)$$

\Rightarrow πχ πυκνότητα νερού $10^{-6} gr/cm^3$

\Rightarrow Τα βασικά χαρακτηριστικά της δομής των ατόμων και των μορίων καθώς και μια βερά από φυσικοχημικές ιδιότητες της μακροσκοπικής ζιαν εξαρτώνται από τρεις παραμέτρους:

\hbar, m, e